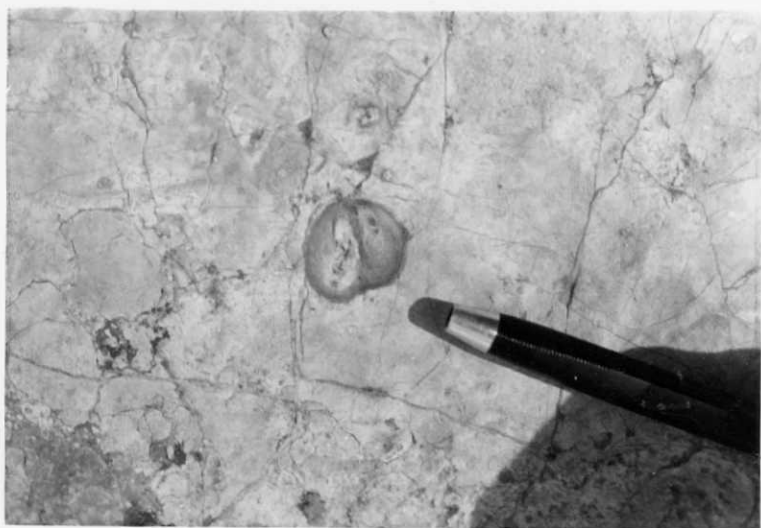
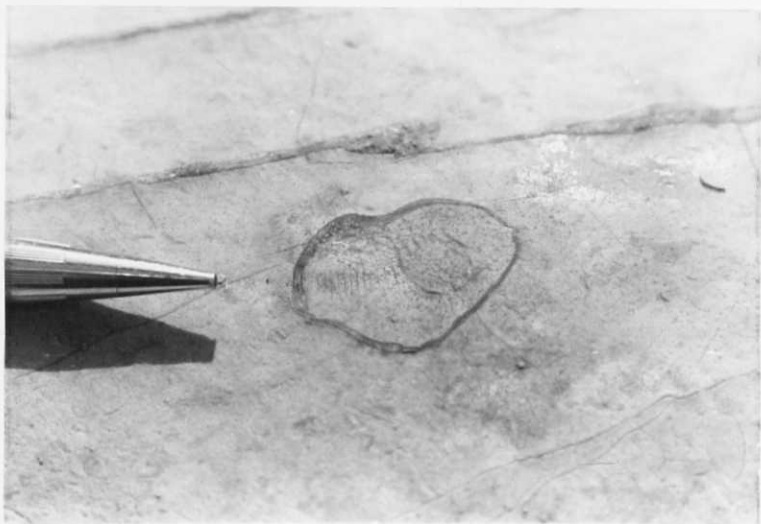


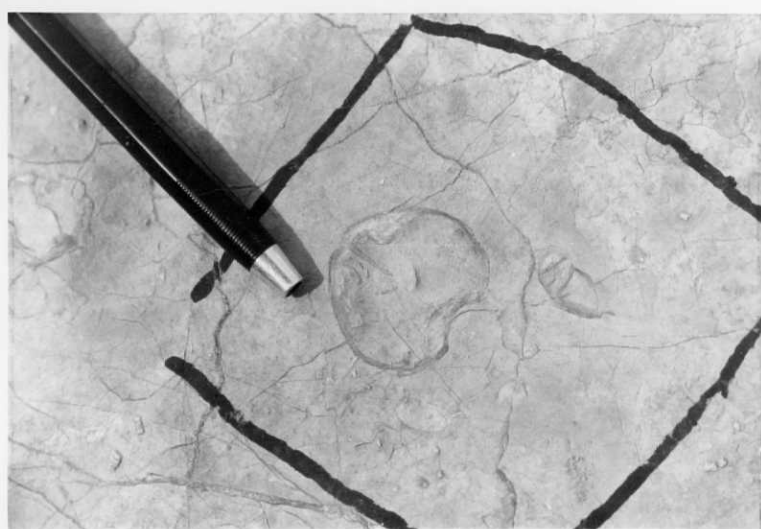
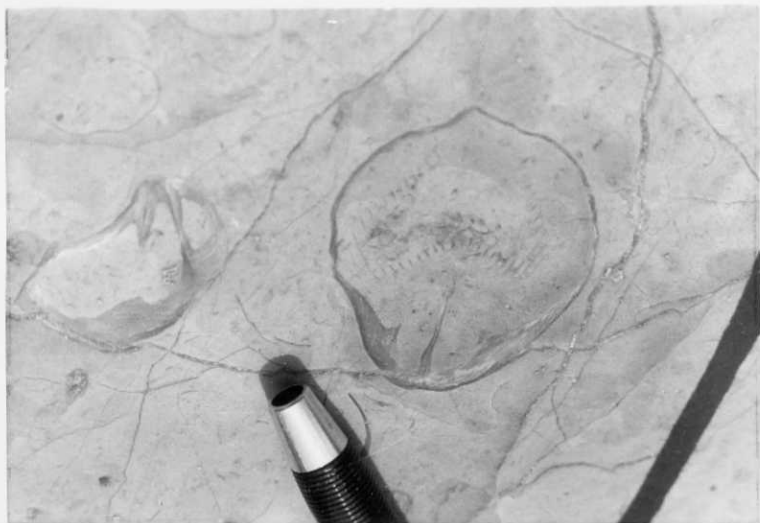
Aspecto del conglomerado terciario FP 613.— Ct^e 2.— Ng 10.



Aspecto de la caliza de crinoides J η con la asociación faunística de Spiriferinas, Plicátula y Terebrátula que caracteriza el Lías.
Fotos correspondientes a las estaciones y muestras FP 843, FP 844, FP 845, FP 846. Carrete 1; negativo 12 y carrete 2; negativos n^{OS} 23,24,25,26,28 y 34.



Aspecto de la caliza de crinoides J^C_1 con la asociación faunística de Spiriferinas, Plicátula y Terebrátula que caracteriza el Lías.
Fotos correspondientes a las estaciones y muestras FP 843, FP 844, FP 845, FP 846. Carrete 1; negativo 12 y carrete 2; negativos n^{OS} 23, 24, 25, 26, 28 y 34.



Aspecto de la caliza de crinoides J^C_1 con la asociación faunística de *Spiriferinas*, *Plicátula* y *Terebrátula* que caracteriza el Lías.

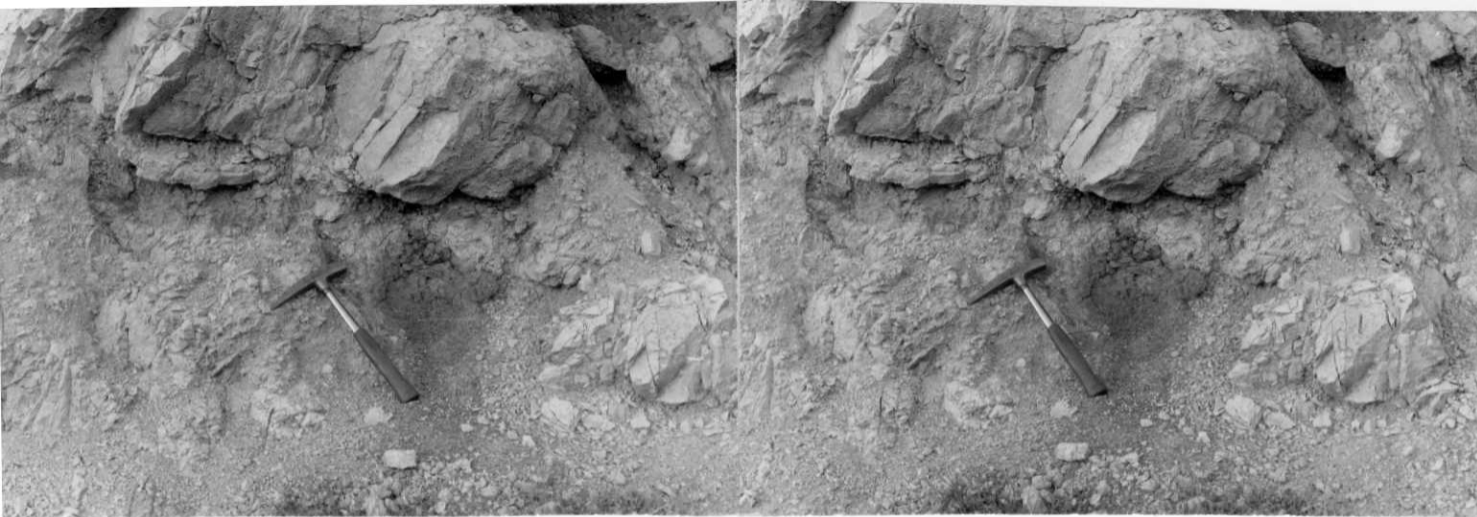
Fotos correspondientes a las estaciones y muestras FP 843, FP 844, FP 845, FP 846., Carrete 1; negativo 12 y carrete 2; negativos n^{os} 23, 24, 26, 28 y 34.



Par estereoscópico del glacis que recubre toda la parte septentrional de la hoja. Los materiales son arcillosos englobando cantos predominantemente calcáreos, ofreciendo el conjunto un aspecto muy terrígeno. FP 582 Ct^e 1 Ng 14 y 16.



Cantos cuarcíticos pertenecientes a la raña. La matriz arcillosa ha desaparecido por lavado. FP 237 Ct^e 4.— Ng 15.



Margas y dolomías de la formación media del Jurásico mostrando fenómenos de boudinage. FP 266 ct^e 2 Ng 16 y 17.